# APPLICATION DE L'ANALYSE FACTORIELLE DES CORRESPONDANCES AU CLASSEMENT DE RELEVES DE VEGETATION SUR LE MASSIF DU BOULINDA

(note provisoire)

T. JAFFRÉ

Centre O.R.S.T.O.M.

de NOUMEA

Avril 1976

ORSTOM Fonds Documentaire

N°: 29.67.6. ep 1

Cote : B

La comparaison mathématique de 178 relevés de végétation a été réalisée en utilisant une analyse factorielle des correspondances <sup>(1)</sup>, selon une technique mise au point par l'équipe de Monsieur le Professeur GUINOCHET au Laboratoire de Taxonomie végétale expérimentale et numérique de l'Université de Paris Sud <sup>(2)</sup>:

Pour définir le principe de la méthode nous citerons un passage de "Phytosociologie" (Guinochet - 1973) : "l'analyse factorielle des correspondances, dont l'idée revient à J.P. Benzecri se propose, étant donné deux ensembles, par exemple dans notre cas l'ensemble des R relevés et celui des E espèces, de les représenter sur une même carte, plane ou spatiale, de telle sorte que chaque relevé se trouve entouré de ses espèces, et chaque espèce des relevés où elle figure. Du même coup les relevés ressemblants et les espèces associées se trouvent groupés".

La présente note rend compte de l'interprétation des images mathématiques résultant de la projection de la constellation des relevés puis des espèces dans des plans définis par les axes pris 2 à 2.

Les 178 relevés floristiques ont été réalisés dans des formations basses correspondant à la dénomination locale de "maquis des terrains miniers".

#### Examen des cartes des relevés floristiques :

Pour faciliter la lecture des cartes de relevés figures 1, 2 et 3 nous avons symbolisé les relevés par des couleurs différentes en rapport avec leur localisation.

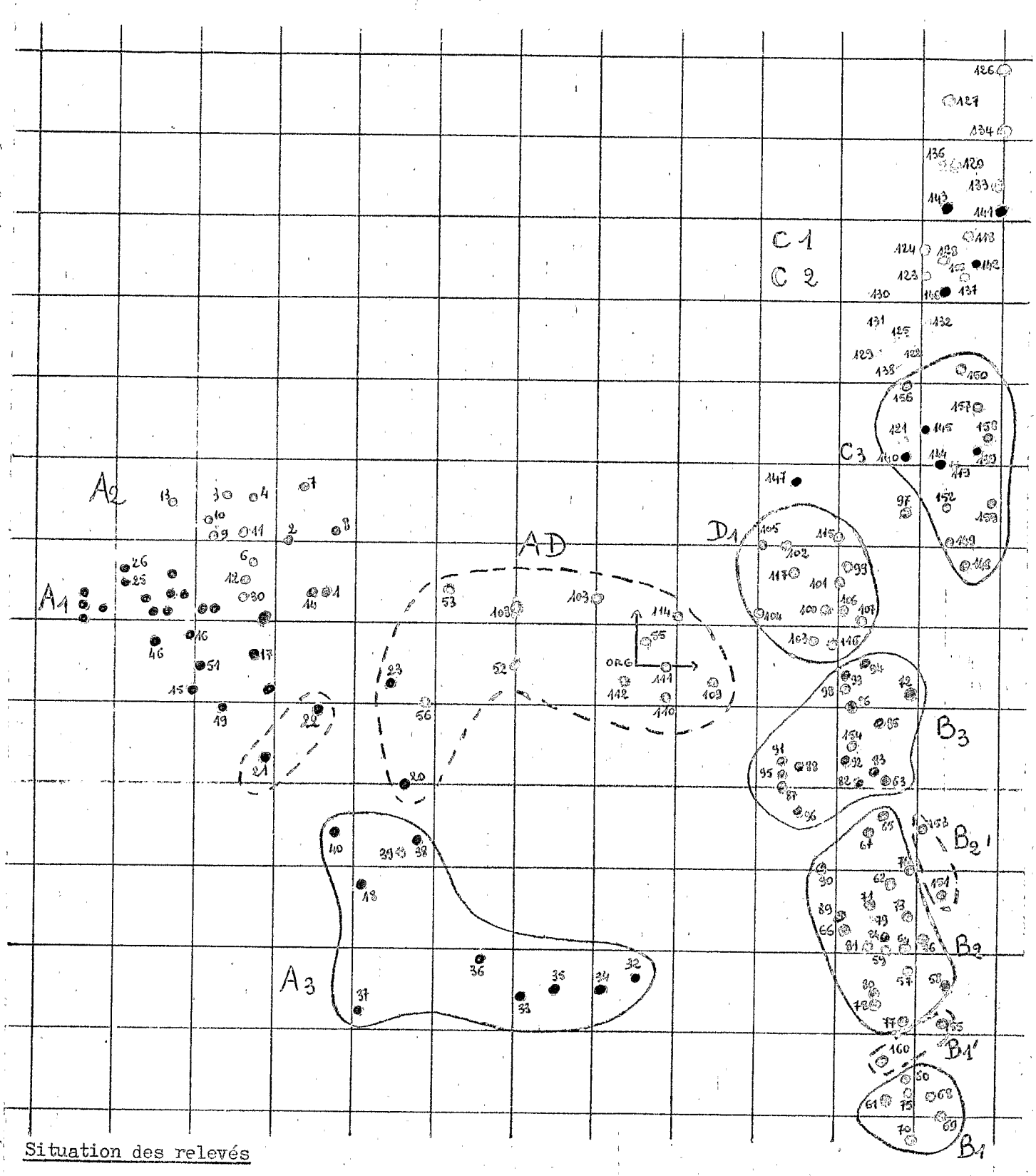
<sup>(1)</sup> Le traitement informatique a été effectué par J.P. Briane. L'ordinateur utilisé est l'UNIVAC 1108 du Centre de calcul de l'Université de PARIS XI.

<sup>(2) -</sup> ROUX G. et ROUX M. (1967). A propos de quelques méthodes de classification en phytosociologie, Rev. Statist. Appliquée 15 (2) 59-72

<sup>-</sup> GUINOCHET M. (1973) Phytosociologie. Masson et Cie Edit. PARIS 227 P.

<sup>-</sup> BRIANE JP, LAZARE C., ROUX G., SARTRE C. (1974). L'analyse factorielle des correspondances et l'arbre de longueur minimum ; exemples d'application. Adansonia, ser 2, 14 (1) : 111 - 137

## selon les axes 1 et 2



- 0 Plaine au pied du massif
- Pentes serpentineuses en dessous de 500 m d'altitude
- Plateau ferrallitique (sol à texture fine) 200-300 m d'altitude
- Plateau ferralitique (sol gravillonnaire) en dessous de 500 m
- 0 Pentes péridotitiques entre 500 et 900 m d'altitude
- Piémont 500 m
- O Plateaux ferrallitiques cuirassés ou gravillonnaires de 650 à 900 m
- Dépressions fermées entre 800 et 1000 m
- ∅ Zones dégradées au dessus de 900 m.

## selon les axes 1 et 3

			•3	* 1									
	ŧ	ļ	ļ	61					ļ <u>.</u>				
,		A <sub>2</sub>	. •4										
		43	9 44	• 8	i		,				<b>3</b> 460		
			<b>∂</b> /lo	6°2		l .				444	70 0	©424 ©422 © C3	
	e ·					ı					184 OO	O O NAS	
	29	<b>●</b> 26	12			O <sub>FF</sub>			). 14		6 6 6 6 6 6 6 6 6 6 6 6 6 6 6 6 6 6 6	0 0 0 0	
	28 27 50	18 49 <b>1</b>	45 41 46	<b>●</b> <sup>14</sup>	<b>56</b> ○	<u>.</u>	103	ORG	, ,	50 <b>©</b>	<b>•</b> 89	-0449 -146	
	A4	31	45 30 42 24		23	·	<u>0</u>	0412 0 0 143 - 55	441	0 9 9 100 0	6 (3)7 6 (3)7 6 (6) (3)		· A
			49 <sup>6</sup> 444		-	1		743 55 S	,	4170 4030 200 4460	9 0°	© \sec © \co © \co © \co	•
:	. 1	,		22	. ,					A02 A02	:		
	•		/21   €1			-							
			J	40	39		<b>@</b> 35	<sup>34</sup>			A COLOR OF THE STATE OF THE STA		
			,		●4% ● 33	1 1			, ,				
•			,			<b>3</b> 6	<b>●</b> 33						<del></del>
					31		,,						

### Situation des relevés

- 0 Plaine au pied du massif
- 🛮 Pentes serpentineuses en dessous de 500 m d'altitude
- 0 Plateau ferrallitique (sol à texture fine) 200-300 m d'altitude
- 0 Plateau ferrallitique (sol gravillonnaire) en dessous de 500 m
- 0 Pentes péridotitiques entre 500 et 900 m d'altitude
- Ø Piémont 500 m
- 0 Plateaux l'erra Litiques cuirassés ou gravillonnaires de 650 à 900 m
- 🕖 Dépressions fermées entre 800 et 1000 m
- 0 Zones dégradées au dessus de 900 m.

## selon les axes 2 et 3

j	:	1	ı	1		•	4	1 :			i		i	
1	•	<u> </u>												
	:		<u>.</u>					A2./	@3 \ @ <sub>7</sub>		-	Control Control of the Control of th	,	i
1 4		: ,	in By					14 5000°	<b>O</b> H		,	r	: .	
+		20 Och	1				. (	@ @ @A		;			1.	
	B4		( 58 )	(A59) (S <sup>50</sup> 840)	B2'			(O4148)	<b>●</b> 447					unayana 4
		(61)	િલુ 🛴	OH6 130		⊚ <sup>154</sup>	•	12 0149	Ali4 158	C 3		Cg	, ,	
1			βబ	\$19 E	90 0/	⊕ ©31	900	and the second	0.458 \\\\\\\\\\\\\\\\\\\\\\\\\\\\\\\\\\\\	150 Q	/142 /146	143		
4					95 @ 57 @ 98 @	992 G			@97- A2M	125	435 <sup>©</sup> 0 <sup>43†</sup>	/21		
			:		; , ; ;	140 <sub>©</sub>		107 099	445	/ 1220 1320 1299 121	423 432 0 0 0 0	1.4475	134 12	5
manager of the control of the control of	and a part from solver or or					(22)	3/10/	102 202 405			7/10	C <sub>1</sub>		<del>-</del>
			·		;	21/	4					ī		
			A3 32.		40 <b>0</b> )		1 1,		1	i i		1 1		
				<b>©36</b>	10 1 1 1 1 1		, i		1 1, '	1		í		Parkkey
e.			37											

### Situation des relevés

- 0 Plaine au pied du massif
- Pentes serpentineuses en dessous de 500 m d'altitude
- 0 Plateau ferrallitique (sol à texture fine) 200-300 m d'altitude
- O Plateau ferrallitique (sol grávillonnaire) en dessous de 500 m
- 0 Pentes péridotitiques entre 500 et 900 m d'altitude
- 0 Piémont 500 m
- 0 Plateaux ferrallitique cuirassés ou gravillonnaires de 650 à 900 m
- - Dépressions fermées entre 800 et 1000 m
- O Zones dégradées au dessus de 900 m.

L'examen des cartes des relevés construites avec les axes 1 et 2 (figure 1) et avec les axes 1 et 3 (figure 2) montre que les relevés floristiques sur sols très magnésiens à la base du massif se trouvent à gauche de l'origine tandis que les relevés sur sols ferrallitiques plus ou moins désaturés, moins riches en magnésium, se trouvent à droite. Au voisinage de l'origine sont groupés des relevés effectués sur sols complexes constitués par un recouvrement ferrallitique d'épaisseur variable sur matériaux serpentineux hypermagnésiens.

## a) Les relevés floristiques sur sols excessivement riches en magnésium.

Ils comprennent des relevés effectués d'une part dans la plaine alluviale sur alluvions serpentineuses, d'autre part sur les pentes érodées en dessous de 500 m.

Figure 1 : - Les relevés de la plaine alluviale et la majorité des relevés sur pentes sont groupés.

- Une partie des relevés sur pentes s'individualise sur un ensemble A3.

Figure 2 : Le premier groupe défini sur la figure 1 se scinde en deux ensembles A1 et A2.

Le groupe A1 correspond aux relevés sur sols bruns, eutrophes peu évolués d'érosion sur serpentinites et péridotites serpentinisées.

Le groupe A2 correspond aux relevés de la plaine alluviale (sols hydromorphes minéraux à ségrégation de manganèse).

Le groupe A3 correspond aux relevés sur sols ferrallitiques riches en magnésium sur péridotites serpentinisées.

Les relevés 21, 22, 12 et 14 correspondent vraisemblablement à des zones de transition.

# b) Les relevés floristiques sur sols ferrallitiques désaturés.

L'examen des figures 1 et 3 montre qu'ils se rangent en deux directions à partir de l'origine.

A l'un des pôles on trouve les relevés sur pentes péridotitiques très érodées au dessus de 500 m (sols ferrallitiques faiblement désaturés rajeunis par érosion). Groupe B1. Au voisinage de B1 on trouve un ensemble B2 constitué par des relevés sur pentes péridotitiques moyennement érodées (sols ferrallitiques remaniés par colluvionnement et érosion).

La figure 3 montre que les relevés effectués à une altitude supérieure

à 900 m ont tendance à se différencier en groupes séparés B'1 et B'2. Ceux-ci seraient des variantes altitudinales des groupes B1 et B2. Au voisinage de B2, plus proche de l'origine, il est possible de distinguer un groupe B3 constitué par des relevés situés à 500 m d'altitude dans des stations de bas de pente sur sols ferrallitiques remaniés colluvionnés.

La présence de quelques relevés des bas de pente dans le groupe B2 ainsi que la présence de relevés sur versants dans le groupe B3 permet de conclure que, bien plus que la position topographique, ce sont les taux d'enrochement et de colluvionnement qui interviennent dans la différenciation des associations B2 et B3. Les taux d'enrochement et de colluvionnement sont le plus souvent fonction de la position topographique (érosion sur les versants, colluvionnement en bas de pente) toutefois l'enrochement peut aussi être dû à la présence d'éboulis rocheux en bas de pente (cas des relevés 84, 89 et 90) et un colluvionnement peut intervenir sur un versant au bénéfice d'un léger replat (cas du relevé 63).

Au pôle opposé à B1 se trouve, sur les figures 2 et 3, un groupe C1 formé des relevés effectués sur les plateaux ferrallitiques au-dessus de 650 m, ces plateaux présentent des sols ferrallitiques très désaturés plus ou moins cuirassés et gravillonnaires.

Au voisinage de C1 le groupe C2 est constitué de relevés situés audessus de 800 m d'altitude sur sols ferrallitiques fortement désaturés, dans de petites dépressions fermées. Au voisinage de C1 et C2, dans le groupe C3 sont rassemblés des relevés situés au-dessus de 850 m, dans des zones très dégradées sur sols ferrallitiques plus ou moins cuirassés fortement désaturés remaniés colludes vionnés et/relevés effectués comme ceux du groupe C2, dans de petites dépressions fermées. Les caractères écologiques règlant la séparation des relevés des dépressions fermées nous échappe actuellement.

Sur la figure 1 se différencie entre C3 et B3 un groupe D1 dans lequel sont rassemblés des relevés effectués entre 300 et 500 m d'altitude sur sols ferrallitiques moyennement désaturés remaniés appauvris gravillonnaires.

Notons qu'un certain nombre de relevés des sols ferrallitiques gravillonnaires sont décalés vers l'origine par rapport au groupe D1. Il s'agit de relevés effectués dans des stations où le manteau ferrallitique est peu épais, ce
qui permet aux systèmes racinaires des plantes d'avoir accès au substrat hypermagnésien sous jacent.

### Examen des cartes des espèces

Les figures 4, 5 et 6 sont une représentation simplifiée des cartes des espèces sur lesquelles sont disposées les 278 espèces.

L'examen des cartes des espèces construites avec les axes 1 et 3 (figure 5) et avec les axes 1 et 2 (figure 4) montre que les espèces magnésicoles se situent à gauche de l'origine. Les espèces caractéristiques des groupements A1, A2 et A3 préalablement reconnus se différencient assez bien sur la figure 5.

Le groupe A1 est riche en espèces caractéristiques (Phyllanthus montrouzieri (203) Mooria canescens (166) Xanthostemon macrophyllum (270) Stenocarpus
milnei (250) Geniostoma of celastrineum (111). C'est une association très largement représentée. Physionomiquement elle présente des aspects différents suivant
que Gymnostoma chamaecyparis, espèce grégaire à port très caractéristique est ou
non présente.

Les groupements A2 et A3 sont apparentés au groupe A1. Le groupement A2 s'en différencie par la présence de <u>Melaleuca quinquenervia</u> (172) qui traduit ici l'hydromorphie du milieu, la présence de graminées <u>Aristida novae caledoniae</u> (22) <u>Themeda qiqantea</u> (264) <u>Schizachirium obliquiberbe</u> (248) qui traduisent une secondarisation du milieu et la présence de <u>Plectronia odora</u> (207) que nous retiendrons comme espèce caractéristique de l'association, <u>Acacia spirorbis</u> (7), espèce grégaire, qui domine ce groupement et lui imprime sa physionomie, ne peut être retenue comme espèce caractéristique. Le groupement A3 semble caractérisé par <u>Marxwellia lepidota</u> (164), <u>Maba glauca</u> (169) <u>Eriostemon pallidum</u> (85), toutefois une étude s'étendant aux formations paraforestières proches serait nécessaire pour définir avec certitude les espèces caractéristiques.

Les cartes des espèces construites avec les axes 1 et 2 (figure 4) et avec les axes 2 et 3 (figure 6) sont les plus lisibles en ce qui concerne les groupements sur sols ferrallitiques.

Les groupements B1 et B2 et les groupements B2 et B3 ont une forte parenté floristique.

B1 et B2 sont caractérisés par <u>Knightia deplanchei</u> (130) <u>Normandia</u>

<u>heo-caledonica</u> (175) <u>Hibbertia altigena</u> (117) <u>Argophyllum laxum</u> (10). Le groupement B1 apparaît comme une sous unité de l'ensemble B1 - B2, il occupe les sols
les plus érodés, il est caractérisé par <u>Myrtus rufo-punctatus</u> (158) <u>Ficus aspe-</u>
<u>rula</u> (93) <u>Schoenus juvensis</u> (241).

# selon les axes 1 et 2

	•				-		ı				1	r	,
• •••••					<u> </u>	ļ						<u> </u>	
-												۵	
				,			i i				4	0 49 0 49 0 444	
					1		,				C1 C2	0 0 0 0 0 0 0 0 0 0 0 0 0 0 0 0 0 0 0	
								4			, .		/
-			The state of the s		)				,		8850	480 72	
						, 1			,		C3 (	0.442 0.227 0.43	
*****	/						' '		D4 ;	<b>229</b>	° ° ° ° ° ° ° ° ° ° ° ° ° ° ° ° ° ° °	୍ୟୟ ୦ <b>ୟନ</b> ୦ .	ı
				-				,	0	234 ()38	0 150	\ \ \	
	1	,	E	SPE(	CES			ore L	0.	260 <sub>0</sub> 234	0 0	· / ·	
******		\	MAG	NESI	COL	E S				201)	755 0 0 0,448 0 0,448	414	Вз
		.\	- ,	. 1	i i	-		\	0	152 152		0	
					,	1	1		0 303		0 049	N40 /	/
0	,		\							0 41 0 488 0		0	B <sub>2</sub>
,						1	-	/		. 47	* 0 0 430 0	0 <b>494</b>	-; ;
				,						/		192 0	
		,	,	VIII TO THE TAXABLE AND THE TA	\					ઇ શ્રમ્ય	93 🗅	0456	B <sub>1</sub>
;		4	1	ļ	į						,		

# \_\_\_\_\_ISTE DES ESPECES DE LA FIGURE 4

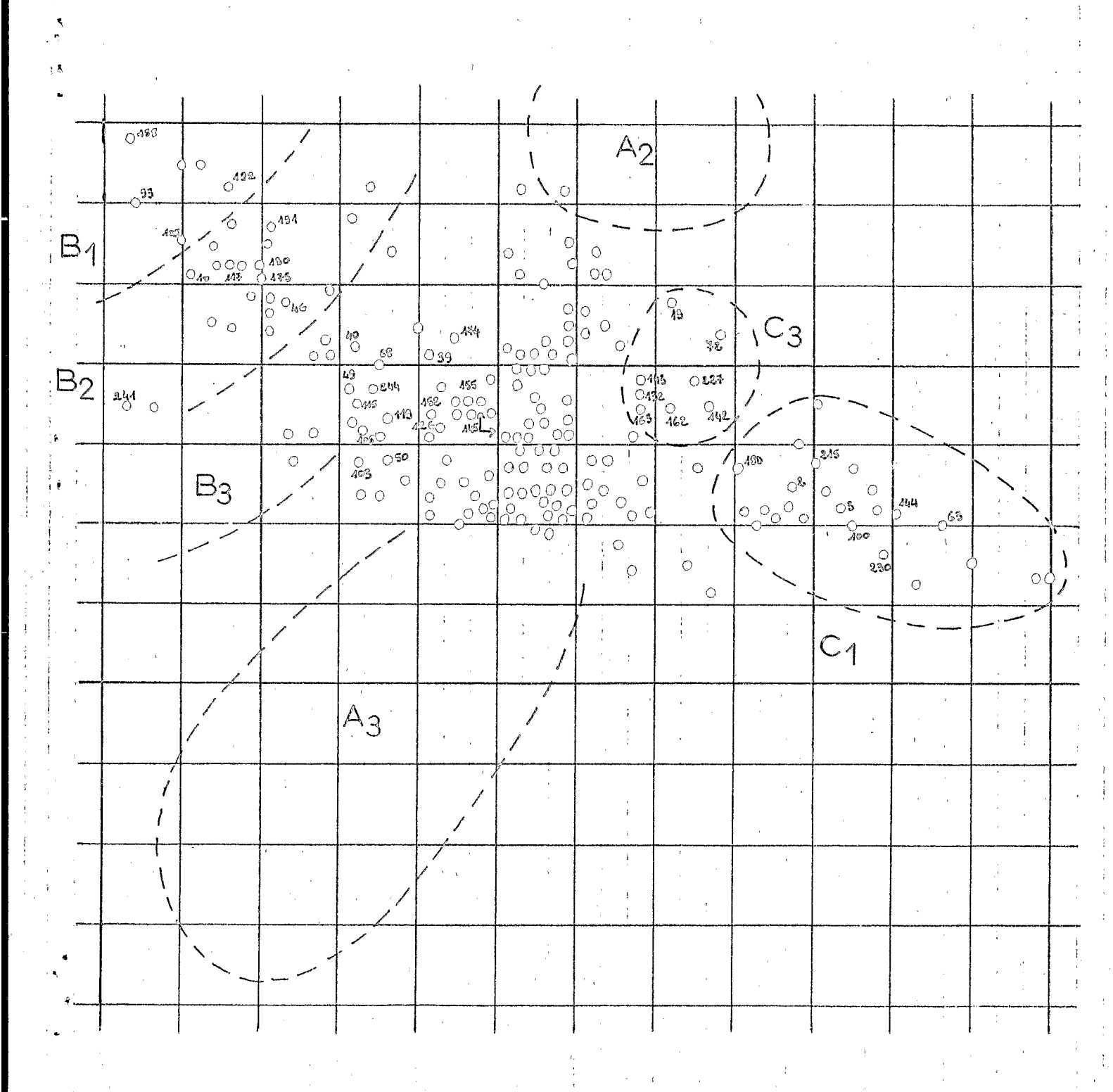
Secteur	C 1 - C 2	63	Dubouzetia elegans
		79	Eleocarpus sp.
		144	Mesipteris vieillardii
		230	Styphelia cf cymbulae
		100	Garniera sphathulaefolia
		3	Alyxia caletioides
		125	Hybanthus caledonicus
		98	Grevillea gillivrayii
		2	Araucaria rulei
		226	*** ***
			Styphelia macrocarpa
		180	Pancheria confusa
Secteur	C 3	72	Dicranopteris linearis
	- 3	142	Metrosideros demonstrans
		227	Symplocos rotundifolia
		162	Maytenus sp
		13	Argophyllum ellipticum
		132	Lycopodium denterodensum
		-	Metrosideros engleriana
		143	Metrosideros engleriana
Secteur	D 1	229	Stenocarpus umbelliferus
		163	Myrtus sp
		43	Caryophyllus kriegeri
		231	Styphelia cf pancheri
		150	Myodocarpus frazinifolius
		<b>3</b> 8	Codia montana
		260	Tristania guillainii
Secteur	В 3	234	Styphelia sp gr. cymbulae
		155	Melicope leptococca
		148	Myrtus sp
		261	Tristania callobuxus
		145	To the control of the
		174	Nepenthes vieillardii
	0.00	185	Pancheria sp
*		152	Myodocarpus aff. coronatus
		126	Ixora francii
,		39	Costularia nervosa
		119	Hibbertia lucens
		50	Casuarina glauscens
		115	Homalium kanaliense var. boulindae
		68	Dracophyllum ramosum
	•	40	Costularia comosa
		140	Litsea triflora
		49	Casuarina deplancheana
	T. 0	. ~	G
Secteur	B 2	41	Costularia arundinacea
		188	Phyllanthus aff. maytenuifolius
		46	Codia ferruginea
1		191	Pancheria ferruginea
		117	Hibbertia altigena
		175	Normandia neo-caledonica
		130	Knightia deplanchei
Secteur	B I	192	Pancheria engleriana
Decoent	طالب الأستان ا	10	Argophyllum laxum
		105	Geniostoma sp.
		241	Schoenus juvensis
•		93	Ficus asperula
		95 <b>15</b> 8	Myrtus rufo-punctatus
		170	my rous rero-pare ocous

			1	TIGURE !	5	Projecti	on des	points	représer	tatifs	des espè	ces sel	on les a	xes 1	et	3	
		177				•								***************************************			
	1 - 1 1 - 1 1 - 1																
1 1 1 1 1 1 1 1 1 1 1 1 1 1 1 1 1 1 1		]   			! !							; !					
																	1
			-			F03.	1 1	14							,		
						2350	•										
	n."		-		A <sub>2</sub>	<b>2</b> 45			3-								<b>\</b>
		Column Transfer (a				92	28		* ૧૧૧				and the second				
	lates Lates					264			A CONTRACTOR OF THE CONTRACTOR				1				
					212	1	<b>0</b> 24		•				/				] (5) 
		***	iral Class			139	<b>●</b> 404			The state of the s	1 1 1 1 1 1 1 1 1 1 1 1 1 1 1 1 1 1 1 1						
			10.00 10.000		34 6 82 6		256		• 2,2						7		
	4					<b>9</b>	217	238	9,21					1 1111			1 (1 mm m)
					714 0 0 181	0 216 0 216 0 270	7111				ORS -		Gr	oupe	25		
		3 N	1 1 1 1	A1		488 850 #467	*		•	•	1	1	В_	CLD		11	
	-				53 <b>⊕</b>	£03	•										
						6483 6 6		048					3 1	A STATE OF THE STA		/	1
		li se				•		€263							/		
		A STATE OF THE PARTY OF THE PAR			1 2	•									) (1) (2) (3) (4) (4) (4) (4) (4) (4) (4) (4) (4) (4		
			_				• 37									- 1-1	
											•						
			(A.			•				1 1 1 1 1 1 1 1 1 1 1 1 1 1 1 1 1 1 1	<del> </del>				100	1 1 1 1 1 1 1 1 1 1 1 1 1 1 1 1 1 1 1	
	ا ام معر		-						247	<u> </u>		*	184	i haisa		Street 1	
					169	465	28.4 € 3.64 €				• 255						
					1304			242.0 237.0									
				Аз	1 1		14 A		<b>985</b>					1 相 時			
							a hateiri a come de	La de la compania de		ichyn y dan da	r jes sid a jedin je navaji kanara manaka jedin di	grafia († 24) 1906 - Lenn Brain 1860 - Grafia	Tarrattoplanat Tarrattoplanat	ld Laft	生情感	things on	

Secteur A 2	207	Plectronia odorata
	172	Melaleuca quinquenervia
	239	Solanum sp.
	45	Casuarina collina
	92	Eragrostis sp.
	22	Aristida novae-caledoniae
	222	Rapanea assymetrica
	tol tol En	Too begreen as a me or me or
Secteur entre A 2 et A	1	
	264	Themeda gigantea
	252	Scleria brownii
	14	Alstonia deplan <b>ch</b> ei
	139	Lepidosperma laterale
	110	Gahnia aspera
	248	Schizachyrum obliquiberbe
	104	Guioa pectinata
	er 2	7.1
Secteur Al	34	Bureavia carunculata
	82	Erythroxylum novo-caledonicum
	236	Scaevola montana
	217	Rapanea sp.
	94	Fimbristylis neo-caledonica
	114	Grevillea meisneri
	125	Hybanthus caledonicus
	166	Mooria canescens
	216	Rauwolfia semperflorens
•	111	Geniostoma cf. celastrineum
	270	Kanthostemon macrophyllum
	250	Stenocarpus milnei
	88	Eugenia gacognei
	167	Maytenus fournieri
	53	Chomelia microcarpa
	203	Phyllanthus montrouzieri
	123	Homalium deplanchei
	42	Gymnostoma chamaecyparis
Secteur entre A 1 et A 3	37	Bocquillonia sp
	263	Tieghemopanax decorans
Secteur A 3	169	Maba glauca
Section 2 7	266	Terminalia novo-caledonica
	265 165	Myrtopsis aff. novae-caledoniae
	221	Rhamnoluma cf. deplanchei
	164	<b></b>
	212	Marxwellia lepidota
· · · · · · · · · · · · · · · · · · ·		Podonephelium homei
	237	Soulamea pancheri
	85	Eriostemon pallidum
	247	Stenocarpus trinervis
	255	Styphelia floribunda
Secteur au voisinage de l'Ori	gine	
	238	Styphelia cymbulae
1	2.j0 7	Acacia spirorbis
	Ľ	

7 121 Helichrysum neo-caledonicum

Projection des points représentatifs des espèces selon les axes 2 et 3



# ISTE DES ESPECES DE LA FIGURE 6

Secteur	B 1	158	Myrtus rufo-punctatus
		93	Ficus asperula
		192	Pancheria engleriana
		105	Geniostoma sp.
		10	Argophyllum laxum
		241	Schoenus juvensis
Secteur	B 2	191	Pancheria ferruginea
		130	Knightia deplanchei
		175	Normandia neo-caledonica
		46	Codia ferruginea
		117	Hibbertia altigena
Secteur	B 3	49	Casuarina deplancheana
	J	244	Schoenus tendo
		68	Dracophyllum ramosum
		115	Homalium boulindae
		50	Casuarina glaucescens
		155	Melicope leptococca
		1 <b>0</b> 8	Gardenia sp`
		103	Grevillea exul
		152	Myodocarpus aff. coronatus
		126	Ixora francii
		145	Montrouziera sphaeroidea
		119	Hibbertia lucens
		39	Costularia nervosa
		174	Nepenthes vieillardii
		40	Costularia comosa
		40	OOS BULGITS COMOSS
Secteur	С 3	13	Argophyllum ellipticum
,		72	Dicranopteris linearis
		227	Symplocos rotundifolia
		162	Maytenus sp
		142	Metrosideros demonstrans
Secteur	C 1	180	Pancheria confusa
		2	Araucaria rulei
		3	Alyxia caletioides
		230	Styphelia aff. cymbulae
		215	Rapanea diminuta
		63	Dubouzetia elegans
		100	Garniera spathulaefolia
		144	Mesipteris vieillardii
		T. 1813	and the second s

Le groupement B3 a une parenté assez nette avec B2 mais aussi avec le groupe D1. Il possède également beaucoup d'espèces en commun avec les groupements paraforestiers de piedmont. Ces derniers n'ont pas fait l'objet de relevés floristiques dans le cadre de la présente étude. Parmi les espèces caractéristiques du groupe B3 nous retiendrons Melicope leptococca (155) et Hibbertia lucens (119).

Les espèces caractéristiques des groupes C s'isolent à droite de la figure 6 et en haut à droite de la figure 4.

Le groupe C1 est caractérisé par <u>Styphelia aff cymbulae</u> (230) <u>Dubou-zetia elegans</u> (63) <u>Araucaria rulei</u> (2) <u>Pancheria ponfusa</u> (180).

Le groupe C3 est caractérisé par <u>Symplocos rotundifolia</u> (227) <u>Maytenus</u> sp (162) <u>Argophyllum ellipticum</u> (13).

La différenciation des espèces liées au groupe C2 n'apparaît pas, ceci est vraisemblablement dû au faible nombre de relevés.

Le groupe D1, qui sur le terrain se reconnaît par l'abondance de <u>Tristania guillainii</u> (260) est floristiquement caractérisé par <u>Caryophyllus</u> <u>kriegeri</u> (43).

Il ressort de cette étude préliminaire que les cartes des espèces sont d'une interprétation beaucoup plus délicate que celles des relevés. Ceci tient au nombre élevé des espèces meis aussi peut être aux caractères particuliers des milieux sur roches ultrabasiques en Nouvelle-Calédonie. La compétition interspécifique joue peu sur ces milieux pauvres à végétation peu dynamique et à croissance lente. Dans ces conditions beaucoup d'espèces accidentelles subsistent et végètent dans des conditions de milieu qui ne leur conviennent pas vraiment. Aussi la prise en considération des caractères d'abondance dominance relative et de vitalité des espèces serait-elle utile. Les informations données par les cartes des relevés permettent une analyse particulièrement fine des unités végétales en fonction de conditions écologiques que la seule étude des caractères du milieu ne révèle pas toujours.